

هزای تصاویر دیجیتال با استفاده از ترکیب ویژگی ها و یادگیری عمیق

سمیه رستگاری فر^۱، یاسر علمی سولا^{*۲}

چکیده

مه معمولاً باعث تداخل شدید در تصویر می شود. چنین تخریبی در تصاویر هم ناظران انسانی و هم سیستم های بینایی رایانه ای را با مشکل مواجه می کند. مه زای تصویر فرآیند بهبود کیفیت تصاویری است که تحت تأثیر پراکندگی ناشی از هوا یا قطرات ریز آب قرار گرفته اند. در این مقاله رو شی نوبن برای حذف مه با کیفیت بالا پیشنهاد شده است. الگوریتم پیشنهادی شده برای حذف مه از تصاویر از ترکیب دو روش کارآمد با پایه ریاضی و افزودن یک طبقه یادگیر عمیق کمک گرفته است. روش پیشنهادی در فاز اول مه زای را بر اساس یکسان سازی هیستوگرام تطبیقی و تصحیح گاما انجام می دهد. این بخش در فضای رنگ HSV و RGB عمل می کند. در فاز دوم از روش مبتنی بر کanal رنگ استفاده شده است که برای حذف مه با الگو گرفتن از مغز انسان، با پردازش بر روی روشنایی و میزان اشباع پیکسل ها در یک تصویر مهآلود و بررسی تغییرات غلظت مه زای را انجام می دهد. در فاز سوم از شبکه عمیق رفع نویز DnCNN برای رسیدن به تصویر با کیفیت بالاتر کمک گرفته شده است. شبکه DnCNN با این توجیه که پس از پردازش تصاویر، مه باقیمانده از یک الگوی نویزی تبعیت می کند و می توان آن را نویز در نظر گرفت استفاده شده است. نتایج پیاده سازی و ارزیابی روشنایی و پیشنهادی بر روی پایگاه داده های تصویری استاندار نشان داد که روش پیشنهادی علاوه بر بهبود کیفیت نتایج نسبت به روش های قبلی، از نظر حافظه ای اشغالی نیز بهتر عمل می کند. از دیگر امتیازات روش پیشنهادی آن است که می توان برای مه زای تصاویر با اندازه کوچک هم از این روش استفاده کرد.

دربافت مقاله :

کلمات کلیدی: مه زای تصویر، یادگیری عمیق، یکسان سازی هیستوگرام،

شبکه عصبی کانولوشنی

پذیرش مقاله:

تصاویر دیجیتال با ایجاد حداقل تخریب در آنهاست که از ترکیب مجموعه ای از ویژگی های حوزه زمان و فرکانس استفاده شده و الگوریتم های یادگیری عمیق به کار گرفته خواهد شد.

۱-۱ مدل سازی فرآیند حذف مه

مه یک پدیده طبیعی است که می توان با استفاده از مدل ASM آن را توضیح داد. این مدل یک پایه قابل اعتماد برای حذف مه فراهم می کند. رابطه مربوط به آن به شکل زیر است:

$$I(x) = J(x)t(x) + A(1 - t(x)) \quad (1)$$

که در آن، مختصات پیکسل با x نشان داده می شود و A به معنای نور جوی است. در رابطه فوق $I(x), J(x) \in \mathbb{R}^3$ تصاویر رنگی اصلی و مهآلود، A روشنایی محیط و t تابع انتقال یا بازتابش محیط می باشد که توصیف بخشی از نور که پراکنده نشده و به دوربین نمی رسد توسط تابع انتقال

۱-۱ مقدمه

مه یک پدیده هواشناسی است که زمانی رخ می دهد که قطرات آب یا کریستال های یخ در هوا در نزدیکی سطح زمین معلق می شوند و منجر به کاهش دید می شود. می توان آن را به صورت ابری در سطح زمین در نظر گرفت. شرایط نامساعد آب و هوایی مانند مه، باران سنگین و برف باعث کاهش کیفیت تصاویر در فضای باز می شوند. این وضعیت ها طیف گسترده ای از اختلالات مانند نویز و کاهش وضوح تصویر را به همراه دارند. در نتیجه، دوربین های مداربسته، سیستم های ردیابی و ناوبری و برنامه های کاربردی که قابلیت اطمینان در آنها حیاتی است (مانند نظرارت در فضای باز و تشخیص شیء)، با مشکلات زیادی مواجه می شوند. مه زای تصاویر (SID)، فرآیندی برای بازیابی یک تصویر تمیز از یک ورودی تخریب شده است، تصویری که از صحنه ای مه گرفته، گرفته شده است. هدف این مقاله، حذف مه از

^۱ گروه مهندسی کامپیوتر، واحد سبزوار، دانشگاه آزاد اسلامی، سبزوار، ایران

^۲ گروه مهندسی کامپیوتر، واحد سبزوار، دانشگاه آزاد اسلامی، سبزوار، ایران (نويسنده مسئول: Yasser.Elmi@iau.ac.ir)

۲- سوابق پژوهش

روش‌های SID موجود را می‌توان به دو دسته طبقه‌بندی کرد، روشهای سنتی پردازش تصویر و روشهای مبتنی بر یادگیری عمیق. اخیراً، یادگیری عمیق در وظایف مختلف پردازش تصویر استفاده شده و عملکرد مناسبی نشان داده است. در مجموع با توجه به نتایج در حوزه SID روشهای مبتنی بر یادگیری عمیق برتر از الگوریتم‌های سنتی هستند [۴-۱].

مدل‌های رفع مه به صورت نظارت شده معمولاً به انواع مختلف سیگنال‌های نظارتی در فرآیند آموزش نیاز دارند، مانند نقشه انتقال، نور جوی، برچسب تصویر بدون مه و غیره. به طور مفهومی، روشهای رفع مه با نظارت می‌توانند به دو دسته مبتنی بر ASM و غیر مبتنی بر ASM تقسیم شوند. با این حال، ممکن است همپوشانی‌هایی در این دسته‌بندی وجود داشته باشد، زیرا هر دو الگوریتم مبتنی بر ASM و غیر مبتنی بر ASM ممکن است با سایر عملیات‌های مبتنی بر بینایی کامپیوتر مانند بخش‌بندی، تشخیص و تخمین عمق ترکیب شوند. بنابراین، این بخش الگوریتم‌های نظارتی را بر اساس مشارکت اصلی آن‌ها دسته‌بندی می‌کند تا تکنیک‌هایی که برای تحقیقات رفع مه مفید هستند به وضوح مشاهده شوند. برای نشان دادن یک تصویر کلی از نقاط ضعف روشهای مختلف پیشنهاد شده تاکنون، یک کار مقایسه‌ای در جدول ۱ انجام شده است.

محیط صورت می‌گیرد. هدف از حذف مه محاسبه J با استفاده از A, t, I می‌باشد.

عبارت اول $I(x)t(x)$ میرایی مستقیم و عبارت دوم $A(1-t(x))$ نور محیطی است که جایگزین تابش مستقیم صحنه می‌شود. میرایی مستقیم، درخشندگی صحنه و واپاشی آن در محیط را توصیف کرده، و نور محیطی نتیجه نوری که قبل از پراکنده شده و منجر به تغییر رنگ صحنه می‌شود، می‌باشد. در حالی که میرایی مستقیم ضربی از اعوجاج درخشندگی صحنه است، نور محیطی یک اشباع کننده است.. (x) به معنای نقشه انتقال متوسط است که به صورت زیر تعریف می‌شود:

$$(2) \quad t(x) = e^{-\beta d(x)}$$

در این مدل، β و $d(x)$ به ترتیب نشان‌دهنده پارامتر پراکنده‌گی جو و عمق $I(x)$ هستند. بنابراین، $t(x)$ توسط d تعیین می‌شود که می‌تواند برای سنتز تصویر مه‌آلود استفاده شود. اگر $t(x)$ و A قابل تخمین باشند، تصویر بدون مه $J(x)$ را می‌توان با استفاده از رابطه زیر به دست آورد:

$$(3) \quad J(x) = \frac{I(x) - A(1-t(x))}{t(x)}$$

در روشهای رفع مه گرفتگی بر اساس ASM، معمولاً $J(x)$ ناشناخته است. $I(x)$ نشان‌دهنده تصویر مه‌گرفته و $J(x)$ نشان‌دهنده تصویر صحنه واضح است. برای بیشتر مدل‌های رفع مه‌گرفتگی، $I(x)$ ورودی و $J(x)$ خروجی مطلوب است

جدول ۱: مقایسه روشهای مختلف حذف مه و نقاط ضعف هر یک

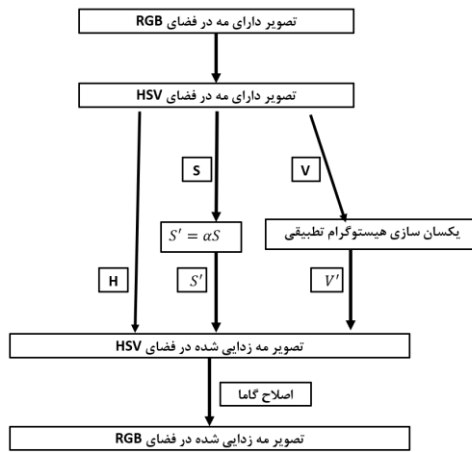
مرجع	نام روش	متند
[۵]	MSCNN	L2 کمینه کردن خطای
[۶]	DCPDN	L2، خطای گرادیان دو جهته، و خطای لبه ویژگی
[۷]	GFN	ترکیب سه معیار مختلف وزن‌دار
[۸]	LAP-Net	stagewise loss استفاده از یک
[۹]	PFDN	مبتنی بر مجموعه‌ای از ویژگی‌ها
[۱۰]	DMMFD	استفاده از ضرب، جمع، توان و تجزیه لگاریتمی
[۹]	KDDN	یک مکانیزم یادگیری process-oriented
[۱۱]	AECR-Net	استفاده از مدل از پیش آموزش دیده
[۱۲]	pWAE	استفاده از یک وزن تطبیقی بین style information و dehazed image
[۱۳]	Retinex-CNN	استفاده از ارتباط بین تصویر مه‌آلود و تصویر بدون مه
[۱۴]	GCA-Net	Residual Learning استفاده از
[۱۵]	EMRA-Net	تبدیل موجک گسسته
[۱۶]	S2DNet	استفاده از داده عمق
[۱۷]	TSDCN-Net	استفاده از شبکه آشماری

این ایرادات هنوز نیاز به روش های مبتنی بر هوش مصنوعی و تطبیقی با هدف الگو کردن بهتر مه در شرایط مختلف و حذف آن احساس می شود.

۳- روش پیشنهادی

همان طور که در بخش دوم اشاره شد روش های متفاوتی برای حذف مه از تصویر وجود دارد که یکی از این روش ها مه زدایی بر اساس یکسان سازی هیستوگرام تطبیقی و تصحیح گاما [۱۹] می باشد. روش پیشنهادی ترکیب این روش با یادگیری عمیق است لذا این روش به صورت کامل تبیین می شود. شکل ۱ فلوچارت روش [۱۹] را نشان می دهد. سه مرحله اصلی این روش شامل پردازش کanal های V, S, H در فضای HSV و اصلاح گاما می باشد.

روش های مبتنی بر خطای مانند [۱۸, ۵-۸] به دلیل نبود تصویر مرجع همواره تقریبی هستند. روش های مبتنی بر ویژگی و الگوی آماری پویا و تطبیقی نیستند و ثابت حساب می شوند، بنابراین در شرایط مختلف افت کارایی دارند. شبکه های پیش آموزش داده شده به صورت عمومی طراحی شده اند و معمولاً کارایی نسبی مناسبی در حذف مه دارند. روش های مبتنی بر ارتباط بین بخش های مختلف تصویر دارای مه همگی آماری هستند و در شرایط مختلف منجر به بروز خطاهای عدم قطعیت می شوند. تبدیل موجک الگوی زمان فرکانس قوی تری نسبت به تبدیل فوریه دارد اما مشکلاتی در مدل کردن منحنی ها و جهت ها دارد. روش های باقیمانده فوق نیز به داده های اضافه عمق و رادار یا سنسور نیاز دارند که همیشه در دسترس نیست. با توجه به



شکل ۱: فلوچارت روش ارائه شده در [۱۹]

در پردازش کanal S، از آنجایی که همسان سازی هیستوگرام تطبیقی اشباع تصویر را کاهش می دهد، باید نوار اشباع را بهبود دهیم. در فضای HSV برای این کار باید کanal S را تغییر دهیم.

$$S' = \alpha S, \alpha > 0 \quad (4)$$

α پارامتری است که در [۱۹] ۱.۶۵ انتخاب شده و می تواند توسط کاربر به صورت دستی نیز وارد شود یا بر اساس حلقه تکرار و بهینه کردن تابع هزینه محاسبه شود. آخرين و مهم ترین مرحله اين روش، تصحیح خطی گاما در فضای RGB است تا نتیجه ممزدایی نهايی را به دست آوریم:

$$f(u) = \begin{cases} -f(u), & \text{if } u < 0 \\ cu, & \text{if } 0 \leq u < d \\ (au + b)^Y, & \text{if } u \geq d \end{cases} \quad (5)$$

یکسان سازی هیستوگرام تطبیقی (پردازش کanal V) یک روش افزایش کنتراست تصویر است. این روش در مناطق محلی تصویر (به عنوان مثال پنجره ۵×۵) عمل می کند. تابع تبدیل کنتراست برای هر پنجره محاسبه می شود و برای افزایش کنتراست به همان ناحیه اعمال می شود. بنابراین، هیستوگرام ناحیه تقریباً با هیستوگرام مشخص شده توسط توزیع هدف، مانند یکنواخت، را یلی یا نمایی مطابقت دارد. در نهایت، تمامی نواحی همسایه با استفاده از درونیابی دو خطی ترکیب می شوند تا ناپیوستگی احتمالی بین آنها حذف شود. درونیابی دوخطی در ریاضیات توسعه درونیابی خطی است که بر روی دو متغیر در جدول دو بعدی معمولی عمل می کند. تابع های درونیابی شده نباید از جمله های x^2 یا y^2 استفاده کند و تنها شامل xy که حالت دو خطی دو متغیر است خواهد بود.

در بیشتر موارد نقش مهم تری ایفا می کند، مناطق مه آلودتر در تصویر با روشنایی بالا و اشباع کم مشخص می شوند. علاوه بر این، هرچه مه غلظت‌تر باشد، تأثیر نور هوا قوی‌تر خواهد بود. این به ما امکان می دهد از تفاوت بین روشنایی و اشباع برای تخمین غلظت مه استفاده کنیم.

همانطور که اشاره شد، از آنجایی که غلظت مه همراه با تغییر عمق صحنه به طور کلی افزایش می یابد، می توان فرض کرد که عمق صحنه با غلظت مه همبستگی مثبت دارد و داریم:

$$d(x) \propto c(x) \propto v(x) - s(x) \quad (10)$$

که d عمق، c غلظت، v و s روشنایی و اشباع هستند.

برای برآورده عمق، یک مدل خطی فرض می کنیم:

$$d(x) = \theta_0 + \theta_1 v(x) + \theta_2 s(x) \quad (11)$$

که در این رابطه $\theta_1, \theta_2, \theta_0$ ضرایب مجھول هستند. (x) یک متغیر تصادفی است که نشان دهنده خطای مدل است و آن را می توان به عنوان یک تصویر تصادفی در نظر گرفت. برای عذر این مقاله از یک متغیر گاوی با میانگین صفر و واریانس σ^2 استفاده شده است. با توجه به ویژگی توزیع گاوی، داریم:

$$d(x) \sim p(d(x) | x, \theta_0, \theta_1, \theta_2, \sigma^2) = N(\theta_0 + \theta_1 v + \theta_2 s, \sigma^2) \quad (12)$$

یکی از مهم‌ترین مزایای این مدل داشتن خاصیت حفظ لبه است. این خاصیت تضمین می کند که اطلاعات عمق را می توان به خوبی حتی در نزدیکی ناپیوستگی‌های عمق در صحنه بازیابی کرد.

به منظور مشخص شدن ضرایب $\theta_0, \theta_1, \theta_2$ ، داده‌های آموزشی لازم است. در [۲۰]، از روش تانگ و همکاران [۲۱] برای تهیه داده‌های آموزشی استفاده شده و تصاویر بدون مه نیز از Flickr و Google Images جمع‌آوری و از آنها برای تولید نقشه‌های عمق مصنوعی و تصاویر مه‌آلود مربوطه استفاده شده است. فرآیند تولید نمونه‌های آموزشی [۲۰] در شکل ۲ نشان داده شده است. ابتدا برای هر تصویر بدون مه، یک نقشه عمق تصادفی با همان اندازه ایجاد و سپس مقادیر پیکسل‌ها در نقشه عمق مصنوعی از توزیع یکنواخت استاندارد مشخص می شوند. در مرحله دوم، نور تصادفی جو تولید می شود. در نهایت، تصویر مه‌آلود مطابق با رابطه 4 و 5 ایجاد می شود. در [۲۰]، 500 تصویر بدون مه برای تولید نمونه‌های آموزشی استفاده شده است (500 نقشه عمق تصادفی و 500 تصویر مه‌آلود مصنوعی).

که f مقادیر پیکسل هر کanal قرمز / سبز / آبی تصویر اولیه مه زدایی شده در فضای رنگی RGB و تصویر نهایی در فضای رنگی استاندارد RGB می باشد.

این روش مبتنی بر کanal رنگ عمل می کند. در رابطه فوق، عمق صحنه d مهم‌ترین اطلاعات است زیرا ضریب پراکندگی β را می توان به عنوان یک ثابت در شرایط جوی همگن گرفت و با معلوم شدن این دو t را می توان به راحتی تخمین زد. در حالت ایده‌آل، محدوده d بین $[0, +\infty]$ است و از آنجایی که اشیا که در تصویر ظاهر می شود می توانند از ناظر بسیار دور باشند، داریم:

$$I(x) = A, d(x) \rightarrow \infty \quad (6)$$

رابطه 6 نشان می دهد که روشنایی پیکسل در عمق بی نهایت می تواند مقدار نور اتمسفر A را در رابطه 4 نشان دهد. توجه داشته باشید که اگر عمق صحنه به اندازه کافی بزرگ باشد t بسیار کوچک است و I برابر A است. بنابراین، به جای محاسبه A می توانیم A را با تعریف یک آستانه $d_{threshold}$ به صورت زیر تخمین بزنیم:

$$I(x) = A, d(x) \geq d_{threshold} \quad (7)$$

لازم به ذکر است که برآورده شدن محدودیت $> d_{threshold}$ در بیشتر موارد محتمل است زیرا یک تصویر مه‌آلود که در فضای باز گرفته می شود، نمای دوری دارد که کیلومترها از ناظر فاصله دارد. به عبارت دیگر، پیکسل متعلق به منطقه با نمای دور دارای عمق بسیار زیادی است. با فرض اینکه هر تصویر مه‌آلود یک نمای دور دارد، داریم:

$$d(x) \geq d_{threshold}, \quad (8)$$

$$x \in \{x \mid \forall y: d(y) \leq d(x)\}$$

بر اساس این فرض، نور اتمسفر با رابطه:

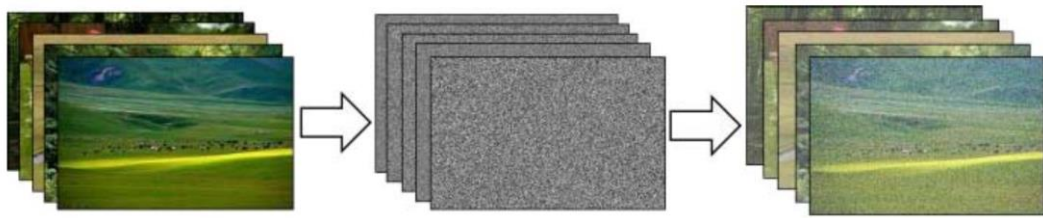
$$A = I(x), \quad (9)$$

$$x \in \{x \mid \forall y: d(y) \leq d(x)\}$$

قابل محاسبه است. در این شرایط، وظیفه الگوریتم حذف مه می تواند بیشتر به بازیابی اطلاعات عمق تبدیل شود. اگرچه به دست آوردن نقشه عمق از یک تصویر مه‌آلود نیز یک کار چالش برانگیز است.

مغز انسان می تواند به سرعت منطقه مه‌آلود را از مناظر طبیعی بدون هیچ گونه اطلاعات اضافی شناسایی کند. برای این کار مغز از روشنایی و اشباع پیکسل‌ها در یک تصویر مه‌آلود همراه با تغییر غلظت مه استفاده می کند.

اثر نور هوایی سفید یا خاکستری بر مقادیر مشاهده شده افزایشی است. بنابراین، در اثر نور هوا، روشنایی افزایش می یابد در حالی که اشباع کاهش می یابد. از آنجایی که نور هوا



شکل ۲: فرآیند تولید نمونه‌های آموزشی [۲۰]

همانطور که در شکل ۳ نشان داده شده است، غازهای سفید در تصویر اول مناطقی هستند که مدل به سختی می‌تواند آنها را مدیریت کند و این مناطق با اشتباه با مقادیر عمق بالا در نقشه عمق تخمین زده شده‌اند. برای حل این مشکل در [۲۰] برای هر پیکسل بر اساس این فرض که عمق صحنه به صورت محلی ثابت است، نقشه عمق خام به صورت زیر پردازش می‌شود:

$$d_r(x) = \min_{y \in \Omega_r(x)} d(y) \quad (13)$$

که (x) یک همسایگی $r \times r$ در نقطه x و نقشه عمق با مقیاس r است.

در [۲۰] از ۵۰۰ نمونه آموزشی حاوی ۱۲۰ میلیون نقطه صحنه برای آموزش مدل خطی استفاده شده است. با توجه به این رابطه عمق صحنه بر اساس روشنایی و تخمین زده شده و می‌توانیم نقشه عمق یک تصویر مهآلود ورودی داده شده را مطابق روابط فوق بازیابی کنیم. با این حال، این مدل ممکن است در برخی شرایط خاص درست کار نکند. به عنوان مثال، اشیا سفید در یک تصویر معمولاً دارای مقادیر بالای روشنایی و مقادیر کم اشباع هستند. بنابراین، مدل پیشنهادی تمایل دارد که اجسام صحنه با رنگ سفید را دور در نظر بگیرد. متأسفانه، این طبقه بندی اشتباه در برخی موارد منجر به تخمین نادرست عمق می‌شود.



شکل ۳: اصلاح نقشه عمق. راست) تصویر مهآلود. چپ) نقشه عمق خام [۲۰]

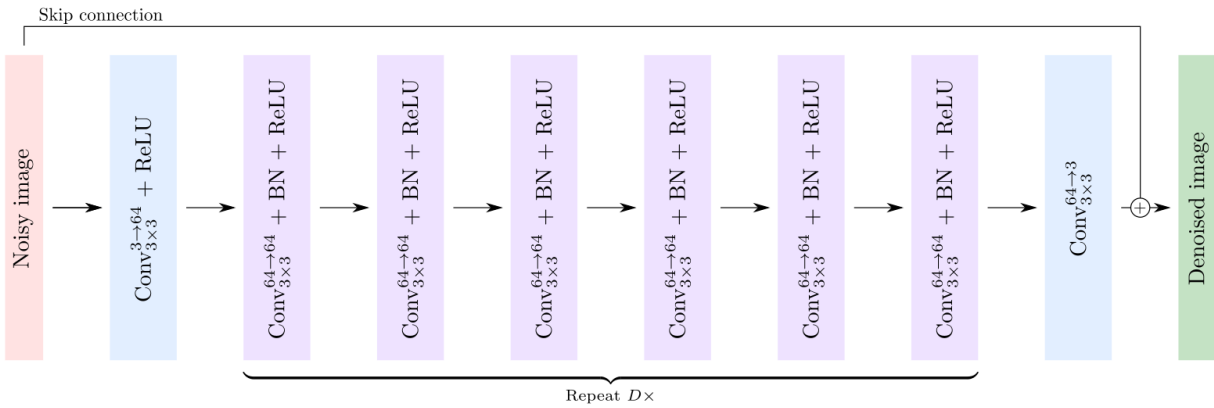
باقیمانده از یک الگوی نویزی تبعیت می‌کند و می‌توان آن را نویز در نظر گرفت استفاده شده است. DnCNN یک شبکه عصبی کانولوشنال عمیق برای حذف نویز تصویر است که در آن از یادگیری باقیمانده برای جداسازی نویز از تصویر استفاده می‌شود. در DnCNN نرم‌افزاری دسته‌ای و یادگیری باقیمانده برای سرعت بخشیدن به روند آموزش و همچنین افزایش عملکرد حذف نویز یکپارچه شده‌اند. برخلاف مدل‌های بازسازی و رفع نویز مرسوم که مدل‌های خاصی را برای سطوح نویز معین آموزش می‌دهند، مدل DnCNN این ظرفیت را دارد که نویز زدایی کور با سطح نویز ناشناخته را مدیریت کند. علاوه بر این، امکان آموزش DnCNN برای انجام سه وظیفه حذف نویز تصویر کلی، از جمله حذف نویز گاوسی با سطح نویز ناشناخته، بالا

در نهایت برای اصلاح نقشه عمق، از فیلتر تصویر هدایت شده [۲۲]، برای صاف کردن تصویر نهایی استفاده شده است.

با معلوم شدن عمق هر پیکسل و ایجاد تابع t و می‌توان تصویر اصلی را با معلوم بودن پارامترهای مختلف بازیابی نمود. برخی جزئیات مانند محدود نمودن تابع t برای بالا بردن کارایی و کم کردن احتمال خطای نیز در [۲۰] در نظر گرفته شده است.

از آنجا که خروجی هر دو متند توضیح داده شده ایده‌آل نبوده و هر دو هنوز دارای مه محسوب می‌شوند در گام آخر از یک شبکه عمیق رفع نویز کانولوشنی DnCNN برای رسیدن به تصویر با کیفیت بالاتر کمک گرفتیم. شبکه استفاده شده با این توجیه که پس از پردازش تصاویر، مه

مطلوب حذف نویز تصویر را از نظر کمی و کیفی در طیف گسترده‌ای از تصاویر دارد. ساختار DnCNN به صورت زیر است:



شکل ۴: ساختار DnCNN

بررسی عملکرد تمامی روش‌های پیشنهادی در پردازش تصویر می‌باشد. این امر برای استاندارد کردن مقایسه عملکرد روش‌های مختلف نیز اهمیت به سزایی دارد. در زمینه مه زدایی به دلیل پرکاربرد بودن این موضوع پایگاه داده‌های بسیار متفاوت و عکس‌های بسیار متنوعی در مناظر مختلف و در شرایط مختلف برداشت و آرشیو شده است. که از بین مجموعه‌ی پایگاه داده‌های موجود، در این مطالعه از دو پایگاه داده NH-HAZE [۲۴] و Dense-Haze [۲۵] استفاده شده است.

NH-HAZE یک مجموعه داده واقعی غیر همگن با جفت تصاویر مهآلود واقعی و متناظر بدون مه است. این مجموعه داده غیر همگن است که دارای ۵۵ صفحه در فضای باز است. در این مجموعه مه غیر همگن با استفاده از یک مه ساز حرфه‌ای که شرایط واقعی صفحه‌های مهآلود را تقلید می‌کند ایجاد شده است. Dense-Haze که شامل صفحه‌های مهآلود متراتکم و همگن است، دارای ۳۳ جفت تصویر مهآلود واقعی و ایده‌آل بدون مه همان تصویر از صفحه‌های مختلف در فضای باز است. صفحه‌های مهآلود با مه واقعی، تولید شده توسط ماشین‌های مه حرفه‌ای ثبت شده است. از جمله پایگاه داده‌های دیگر مه زدایی می‌توان به پایگاه داده دانشگاه واترلو [۲۶] دانشگاه واترلو اشاره نمود. پایگاه داده دانشگاه واترلو ۲۵ تصویر دارای مه است که از این میان ۲۲ تصویر آن در فضای بیرون به صورت واقعی و ۳ تصویر آن با استفاده از نرم افزار تهیه شده‌اند. تصاویر ایده‌آل این پایگاه داده همه به صورت بدون مه به صورت مشابه از همان صفحه، بدون تغییر شرایط برداشت شده‌اند. در مجموع در این پایگاه داده

بردن وضوح تصویر با چندین فاکتور ارتقا، و رفع انسداد تصویر JPEG با فاکتورهای کیفیت متفاوت وجود دارد. نتایج تجربی گسترده نشان داده که DnCNN عملکرد

این شبکه در حالت عمومی ۵۹ لایه دارد که تکرار ساختار فوق محسوب می‌شود. در رویکرد پیشنهادی ابتدا تصاویر خروجی از دو رویکرد اول با وزن مساوی با یکدیگر ترکیب شده و تصویر حاصل به عنوان ورودی شبکه DnCNN در نظر گرفته شده است. خروجی DnCNN تصویر بدون مه خواهد بود. به دلیل آنکه ابعاد ورودی DnCNN بسیار کوچک‌تر از تصاویر مرسوم است، از پیچ‌های بریده شده از قسمت‌های مختلف تصویرهای موجود به عنوان ورودی و خروجی شبکه در آموزش استفاده شده است. شبکه اولیه با وزنهای پیش فرض DnCNN آموزش داده شده بود و از این نظر یک انتقال یادگیری نیز محسوب می‌شود. انتقال یادگیری به معنای آماده‌سازی (مقداردهی اولیه) شبکه با پارامترهای از قبل آموزش داده شده به جای پارامترهای تصادفی است. این روش در مدل‌های مبتنی بر CNN بسیار محبوب است چرا که فرآیند یادگیری را تسريع کرده و همین طور قابلیت تعمیم را بهبود می‌بخشد. شبیه سازی‌های گسترده‌ای بر روی الگوریتم‌های فعلی انجام شده تا دلیل اینکه چرا شبکه‌های از قبل آموزش داده شده از شبکه‌هایی که به صورت سنتی آموزش داده می‌شوند، بهتر کار می‌کنند را نشان دهد.

۴- ارزیابی و نتایج پیاده سازی

در این بخش روش پیشنهادی در مقام مقایسه بر روی مجموعه‌ای از دو پایگاه داده کاملاً استاندارد با مفروضات کاملاً مشابه پیاده سازی شده، و بهبود کارایی آن در شرایط کاملاً یکسان در همه موارد تایید شده است. استفاده از یک پایگاه داده استاندارد یکی از مهم‌ترین مراحل آزمایش

در گام اول نتایج پاسخ مراحل مختلف روش یکسان سازی هیستوگرام تطبیقی و تصحیح گاما بر تصویر مه دار را مقایسه کرده‌ایم. تصاویر انتخاب شده از هر دو پایگاه داده هستند که غلظت مه متفاوتی دارند.

به‌ازای هر تصویر دارای مه تصویر مه زدایی شده با روش های مختلف قرار داده شده که درجات مه زدایی آنها متفاوت است.



شکل ۵: تصویر نمونه بررسی شده. حالت ایده‌آل و حالت مه دار (معمولی و مه غلیظ)



شکل ۶: تصویر نهایی قبل از اصلاح گاما و نتیجه نهایی

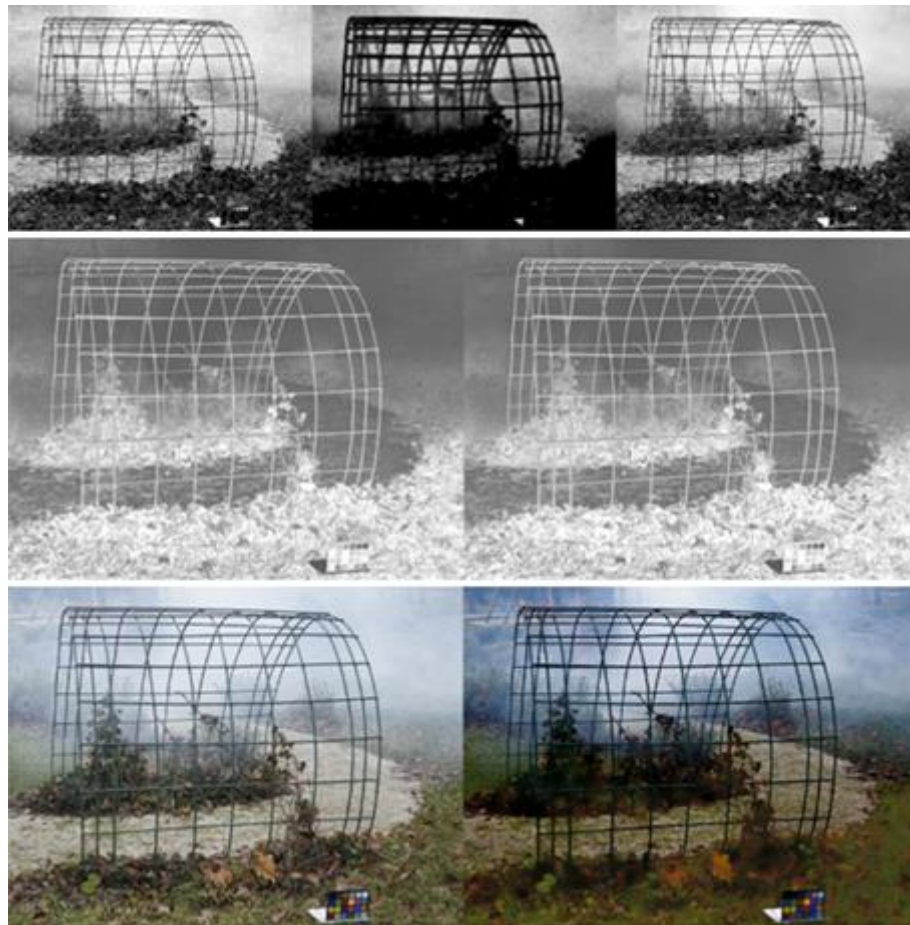
پایین آمده است. این موضوع می‌تواند به دلیل عدم تطبیقی بودن ضرایب انتخاب شده در محاسبات باشد. با این حال محاسبات نسبتاً سبک این روش و کارایی آن در حذف مه در نتیجه نهایی تا حد زیادی خود را نشان داده است.

از نتایج به دست آمده از بخش اول روش پیشنهادی می‌توان دید، اگرچه روش ارائه شده در حذف مه کارایی دارد، اما تصویر نهایی معمولاً از تصویر اولیه تیره‌تر بوده و علاوه بر آن در حالتی که مه بسیار غلیظ است، کارایی روش به شدت

در این بخش دو تصویر از پایگاه داده اول و یک تصویر از پایگاه داده دوم انتخاب شده است.

۱-۴ نتایج روش مبتنی بر کanal رنگ

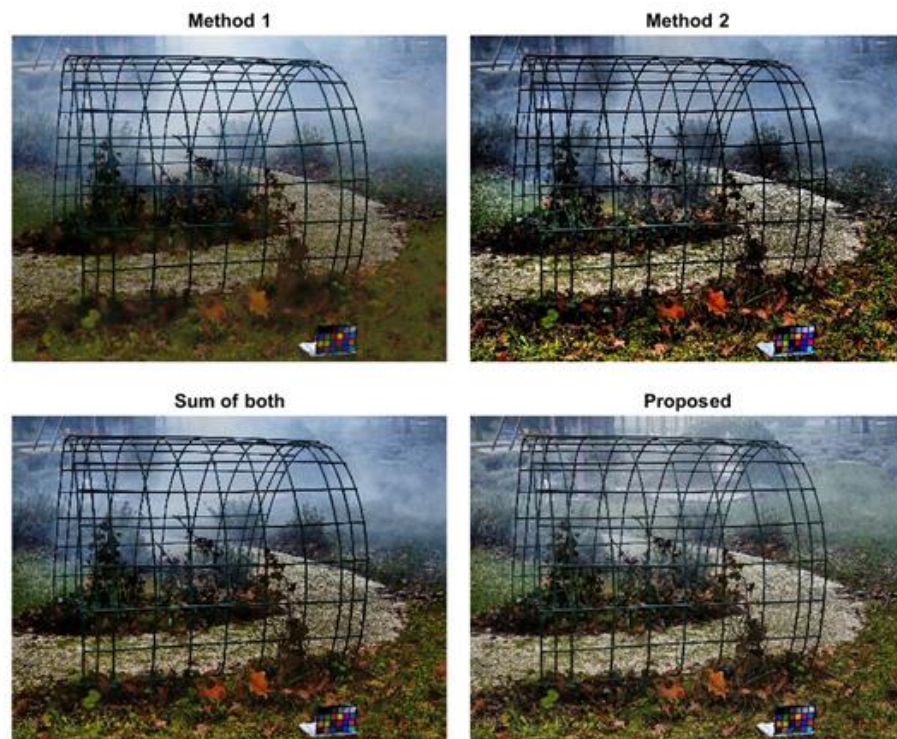
در گام دوم نتایج پاسخ مراحل مختلف روش مبتنی بر کanal رنگ بر تصویر مه دار را مقایسه کرده ایم. مشابه قسمت قبل



شکل ۷: به ترتیب از بالا به پایین: نقشه عمق کانال های رنگ تصویر نویزی، تابع انتقال ، تصویر مه دار و تصویر نهایی سمت روش در حذف مه کارایی ضمنی از خود نشان داده است کارایی نهایی آن مناسب نیست.

۲-۴ نتایج ترکیب دو روش و یادگیری عمیق
در این مرحله خروجی دو روش قبل با یکدیگر جمع شده و نتیجه به عنوان ورودی شبکه حذف نویز پس از آموزش داده شدن شبکه اعمال و خروجی آن رسم شده است.

از نتایج بصری می توان فهمید که در مواردی که مه بسیار غلیظ بوده است عملأً نقشه انتقال کارایی خود را نداشته و روش به خوبی نمی تواند مه غلیظ را حذف کند. در قسمت های دارای مه معمولی نیز الگوریتم تصویر را پررنگ کرده و تصویر خروجی نهایی نسبت به تصویر اولیه دارای کیفیت مناسبی محسوب نمی شود و در مجموع با آنکه



شکل ۸: نتیجه مه زدایی با روش اول، روش دوم، جمع نتیجه دو روش و نتیجه روش پیشنهادی
جدول ۲: نتیجه حاصل از تغییر تعداد لایه DnCNN با سه معیار مختلف

تعداد بلاک‌های سه‌تایی	تعداد کل لایه‌ها	NH-HAZE			Dense-Haze		
		MSE	PSNR	SSIM	MSE	PSNR	SSIM
2	11	1.64	8.69	0.39	4.65	8.17	0.36
3	14	1.54	9.12	0.39	4.47	8.72	0.36
4	17	1.59	9.82	0.42	4.39	8.75	0.38
5	20	1.56	10.25	0.45	4.38	8.84	0.41
6	23	1.54	11.03	0.49	4.28	10.13	0.44
7	26	1.47	10.55	0.47	4.18	10.56	0.43
8	29	1.45	11.42	0.54	4.17	10.94	0.48
9	32	1.46	11.64	0.53	4.14	11.89	0.51
10	35	1.36	13.28	0.60	3.93	11.73	0.51
11	38	1.28	12.89	0.62	3.83	12.70	0.52
12	41	1.34	13.73	0.67	3.61	12.55	0.57
13	44	1.27	14.78	0.66	3.47	14.04	0.59
14	47	1.20	15.76	0.73	3.44	14.42	0.65
15	50	1.23	16.89	0.78	3.33	15.91	0.63
16	53	1.10	16.85	0.76	3.30	16.34	0.69
17	56	1.09	18.72	0.84	3.25	17.58	0.72
18	59	0.98	20.14	0.91	2.83	18.78	0.81
19	62	0.99	20.68	0.90	2.84	19.48	0.84
20	65	1.02	20.48	0.92	2.91	18.50	0.83
21	68	1.03	20.57	0.87	2.76	19.13	0.78
22	71	0.99	20.43	0.95	2.76	18.39	0.81
23	74	1.01	19.98	0.94	2.76	18.84	0.80
24	77	0.96	19.92	0.93	2.76	19.40	0.82

همانطور که از نتایج جدول ۲ می‌توان دید تعداد تعداد بلاک های سه‌تایی ۱۸ و ۱۹ جواب‌های بسیار مناسب و در عین حال نزدیکی از خود نشان داده‌اند که بیانگر بهینه بودن نسبی ساختار DnCNN است. برای مقایسه دقیق‌تر این دو حالت با یکدیگر هر یک از این دو حالت ده بار مختلف اجرا و نتیجه در جدول ۳ آورده شده‌است.

بر اساس نتایج بهدست‌آمده می‌توان دید در تمامی موارد روش پیشنهادی نتیجه نسبتاً بهتری از دو روش قبل داشته و کارایی خروجی آن بهتر شده‌است. با هدف بررسی پارامترهای دخیل در نتیجه روش پیشنهادی و بهینه سازی آن‌ها، و با توجه به آنکه روش‌های [۱۹، ۲۰] مبتنی بر الگوهای ریاضی و مشخص بودند، از تحلیل لایه‌های DnCNN استفاده شد. جدول ۲ نتیجه حاصل از این کار را با سه معیار مختلف در دو پایگاه داده مقایسه کرده است.

جدول ۳: نتیجه ده بار اجرای مختلف

تعداد بلاک‌های سه‌تایی	تعداد کل لایه‌ها	NH-HAZE			MianGin			Dense-Haze			MianGin		
		MSE	PSNR	SSIM	MSE	PSNR	SSIM	MSE	PSNR	SSIM	MSE	PSNR	SSIM
18	59	0.97	20.46	0.92	0.98	20.13	0.91	2.87	18.70	0.84	2.85	18.78	0.81
18	59	0.98	20.02	0.89				2.88	18.51	0.82			
18	59	0.96	20.26	0.89				2.79	18.43	0.78			
18	59	0.96	20.22	0.93				2.79	18.60	0.80			
18	59	0.97	20.17	0.91				2.77	18.99	0.78			
18	59	1.00	19.91	0.90				2.89	19.05	0.81			
18	59	0.99	19.89	0.92				2.88	18.96	0.81			
18	59	1.00	20.09	0.93				2.89	18.32	0.85			
18	59	1.00	19.87	0.92				2.83	19.10	0.84			
18	59	1.00	20.45	0.91				2.88	19.18	0.81			
19	62	1.02	19.62	0.87	1.02	19.17	0.87	2.91	18.11	0.80	2.99	17.85	0.78
19	62	1.01	18.71	0.87				3.03	17.46	0.74			
19	62	1.04	19.19	0.83				3.04	17.76	0.76			
19	62	1.03	18.76	0.88				2.96	18.05	0.81			
19	62	1.00	19.45	0.91				2.93	18.07	0.80			
19	62	1.00	19.63	0.85				3.00	17.62	0.79			
19	62	1.02	18.74	0.91				3.02	17.66	0.78			
19	62	1.00	19.58	0.85				2.99	18.02	0.76			
19	62	1.01	18.70	0.90				3.01	17.84	0.81			
19	62	1.04	19.33	0.86				2.97	17.97	0.74			

است. جدول ۴ نتیجه این مقایسه را نشان داده است. همانطور که از جدول می‌توان دید روش پیشنهادی در هر سه مورد کارایی مناسبی از خود نشان داده است. لازم به ذکر است معیار MSE باید کاهش و دو معیار SSIM و PSNR باید افزایش یابد که در هر دو پایگاه داده این اتفاق رخ داده است.

بر اساس نتایج جدول ۳ می‌توان دید تعداد تعداد بلاک سه‌تایی ۱۸ مناسب‌تر است.

برای اثبات کارایی به صورت کمی، نتیجه روش‌های متفاوت و مجموع ساده و روش پیشنهادی با یکدیگر مقایسه شده است. سه معیار استفاده شده مشابه جداول قبل بوده و با توجه به در دسترس بودن کدها تمامی روش‌ها بر روی پایگاه داده‌های منتخب پیاده سازی شده‌اند. برای محاسبه معیارهای کیفیت از دستورات نرم‌افزار متلب استفاده شده

جدول ۴: مقایسه عددی روش پیشنهادی با روش های مهندسی مختلف

متدها	NH-HAZE			Dense-Haze		
	MSE	PSNR	SSIM	MSE	PSNR	SSIM
[27]	1.07	19.81	0.92	2.99	18.38	0.82
[28]	1.10	19.90	0.93	2.98	18.03	0.78
[16]	1.08	19.14	0.93	3.05	18.61	0.80
[29]	1.12	19.90	0.90	2.99	17.78	0.82
[17]	1.10	19.63	0.92	3.00	18.14	0.83
[30]	1.08	19.11	0.88	3.07	18.09	0.84
[31]	1.08	19.28	0.92	3.08	18.44	0.80
[32]	1.07	19.55	0.86	3.02	18.47	0.77
[33]	1.09	19.95	0.88	2.95	17.92	0.77
[19]	1.13	19.95	0.86	3.05	18.19	0.78
[20]	1.08	19.17	0.87	3.01	18.15	0.83
[21]	1.08	19.96	0.93	3.06	18.33	0.78
میانگین ساده	1.44	17.11	0.84	7.41	14.52	0.73
روش پیشنهادی	0.98	20.14	0.91	2.83	18.78	0.81

صورت می‌گیرد. یکسان سازی هیستوگرام تطبیقی منجر به افزایش کنتراست کanal I می‌گردد. در این رویکرد هیستوگرام ناحیه تقریباً با هیستوگرام مشخص شده توسط توزیع هدف، مانند یکنواخت، را یلی یا نمایی یکسان خواهد بود. در نهایت، تمامی نواحی همسایه با استفاده از درون یابی دو خطی ترکیب می‌شوند تا ناپیوستگی احتمالی بین آنها حذف شود. در پردازش کanal S، از آنجایی که همسان سازی هیستوگرام تطبیقی اشباع تصویر را کاهش می‌دهد، باید فضای اشباع را بهبود دهیم لذا در فضای HSV باید کanal S را تغییر دهیم. در گام دوم از روش مبتنی بر کanal رنگ استفاده شد. در این مرحله با الگو گرفتن از مغز انسان که می‌تواند به سرعت منطقه مهآلود را از مناظر طبیعی بدون هیچ گونه اطلاعات اضافی شناسایی کند از روش‌نایابی و اشباع پیکسل‌ها در یک تصویر مهآلود همراه با تغییر غلظت مه استفاده برای حذف مه استفاده شد.

با توجهی عددی و مثال‌های مختلف نشان داده شد، سه ویژگی (روشنایی، اشباع و تفاوت این دو) در اکثر موارد مستعد تغییر منظم در یک تصویر مهآلود هستند. در نهایت عمق صحنه بر اساس روش‌نایابی تصویر آلوده به مه تخمین زده شده و می‌توانیم بر اساس آن خود تصویر ایده‌ال را بازیابی کنیم. متأسفانه، این مدل تمایل دارد که اجسام صحنه با رنگ سفید را دور در نظر بگیرد و این مناطق به اشتباہ با مقادیر عمق بالا در نقشه عمق تخمین زده می

در این بخش نتایج روش پیشنهادی که در بخش ۳ بیان شده بود در تمامی بلوک دیاگرام‌ها و مراحل الگوریتم‌های پیشنهادی به تفکیک آورده شد و بر روی نتایج بحث لازم صورت گرفت. رویکرد پیشنهادی با افزایش کیفیت ترکیب خروجی دو روش ذکر شده خصوصاً در مواردی که غلظت مه بالا بوده است توانسته کیفیت خروجی را بهبود بخشد. اگرچه لازم به ذکر است خصوصاً در حالت مه با غلظت بالا حتی پس از اعمال روش پیشنهادی مه بر روی تصویر وجود داشته و کیفیت قابل قبول نیست، اما روش پیشنهادی توانسته کیفیت خروجی روش‌های دیگر را به صورت قابل ملاحظه‌ای خصوصاً در نواحی دارای غلظت مه بالا افزایش دهد.

۵- نتیجه‌گیری

با توجه به کاربرد بسیار گسترده‌های حذف مه در سیستم‌های مدرن مبتنی بر پردازش تصویر خصوصاً سیستم‌های ناوی بری و هدایت خودکار ماشین‌ها در این پایان نامه یک الگوریتم حذف مه با کیفیت بالا پیشنهاد شده است. الگوریتم پیشنهاد شده با هدف بالا بردن کیفیت خروجی از ترکیب روش‌های قبلی و اضافه کردن یک طبقه یادگیر عمیق کمک گرفته است. در روش پیشنهادی در این پایان نامه ابتدا مه زدایی بر اساس یکسان سازی هیستوگرام تطبیقی و تصحیح گاما صورت می‌گیرد. پروسه یکسان سازی هیستوگرام در فضای رنگ HSV و فقط بر روی کanal I

است. در نهایت روش پیشنهادی و روش های پایه بر روی تصاویر دو پایگاه داده کاملاً استاندارد پیاده سازی و حفظ کیفیت در روش پیشنهادی به صورت کامل نشان داده شد. از نظر حافظه ای اشغالی نیز روش پیشنهادی نسبتاً بهینه بوده و می توان این طور گفت که حافظه ای اشغالی آن قابل قبول است. از دیگر امتیازات روش پیشنهادی آن است که حتی در تصاویر با ابعاد بسیار اندک نیز می توان از آن به صورت مناسب استفاده نمود.

شوند. برای حل این مشکل برای هر پیکسل بر اساس این فرض که عمق صحنه به صورت محلی ثابت است، نقشه عمق خام اصلاح شد. بر اساس نتایج شبیه سازی مشخص شد خروجی هر دو متد ایدهآل نبوده و هر دو هنوز دارای مه محسوب می شوند. در گام آخر از شبکه عمیق رفع نویز DnCNN برای رسیدن به تصویر با کیفیت بالاتر کمک گرفته شد. شبکه استفاده شده با این توجیه که پس از پردازش تصاویر، مه باقیمانده از یک الگوی نویزی تبعیت می کند و می توان آن را نویز در نظر گرفت استفاده شده

۶- منابع

- [1] Liu, J., et al., *DFP-Net: An unsupervised dual-branch frequency-domain processing framework for single image dehazing*. Engineering Applications of Artificial Intelligence, 2024. **136**: p. 109012.
- [2] Fu, H., et al., *HyperDehazing: A hyperspectral image dehazing benchmark dataset and a deep learning model for haze removal*. ISPRS Journal of Photogrammetry and Remote Sensing, 2024. **218**: p. 663-677.
- [3] Asha, C., et al., *ODD-Net: a hybrid deep learning architecture for image dehazing*. Scientific Reports, 2024 : (1) 14 .p. 30619.
- [4] Balla, P.K., A. Kumar, and R. Pandey, A 4-channelled hazy image input generation and deep learning-based single image dehazing. Journal of Visual Communication and Image Representation, 2024. **100**: p. 104099.
- [5] Ren, W., et al. *Single image dehazing via multi-scale convolutional neural networks*. in *Computer Vision–ECCV 2016: 14th European Conference, Amsterdam, The Netherlands, October 11–14, 2016, Proceedings, Part II* 14. 2016. Springer.
- [6] Zhang, H. and V.M. Patel. *Densely connected pyramid dehazing network*. in *Proceedings of the IEEE conference on computer vision and pattern recognition*. 2018.
- [7] Ren, W., et al. *Gated fusion network for single image dehazing*. in *Proceedings of the IEEE conference on computer vision and pattern recognition*. 2018.
- [8] Li, Y., et al. *LAP-Net: Level-aware progressive network for image dehazing*. in *Proceedings of the IEEE/CVF international conference on computer vision*. 2019.
- [9] Dong, J. and J. Pan. *Physics-based feature dehazing networks*. in *Computer Vision–ECCV 2020: 16th European Conference, Glasgow, UK, August 23–28, 2020, Proceedings, Part XXX* 16. 2020. Springer.
- [10] Deng, Z., et al. *Deep multi-model fusion for single-image dehazing*. in *Proceedings of the IEEE/CVF international conference on computer vision*. 2019.
- [11] Khosla, P., et al., *Supervised contrastive learning*. Advances in neural information processing systems, 2020. **33**: p. 18661-18673.
- [12] Kim, G., S.W. Park, and J. Kwon, *Pixel-wise Wasserstein autoencoder for highly generative dehazing*. IEEE Transactions on Image Processing, 2021. **30**: p. 5452-5462.
- [13] Li, P., et al., *Deep retinex network for single image dehazing*. IEEE Transactions on Image Processing, 2020. **30**: p. 1100-1115.
- [14] Chen, D., et al. *Gated context aggregation network for image dehazing and deraining*. in *2019 IEEE winter conference on applications of computer vision (WACV)*. 2019. IEEE.
- [15] Wang, J., C. Li, and S. Xu, *An ensemble multi-scale residual attention network (EMRA-net) for image Dehazing*. Multimedia Tools and Applications, 2021. **80**(19): p. 29299-29319.
- [16] Hambarde, P. and S. Murala, *S2DNet: Depth estimation from single image and sparse samples*. IEEE Transactions on Computational Imaging, 2020. **6**: p. 806-817.

- [17] Cheng, L. and L. Zhao. *Two-stage image dehazing with depth information and cross-scale non-local attention*. in *2021 IEEE International Conference on Big Data (Big Data)*. 2021. IEEE.
- [18] Li, B., et al. *Aod-net: All-in-one dehazing network*. in *Proceedings of the IEEE international conference on computer vision*. ۲۰۱۷.
- [19] Thanh, D.N., N.M. Hue, and V.S. Prasath. *Single image dehazing based on adaptive histogram equalization and linearization of gamma correction*. in *2019 25th Asia-Pacific Conference on Communications (APCC)*. 2019. IEEE.
- [20] Zhu, Q., J. Mai, and L. Shao, *A fast single image haze removal algorithm using color attenuation prior*. *IEEE transactions on image processing*, 2015. **24**(11): p. 3522-3533.
- [21] Tang, K., J. Yang, and J. Wang. *Investigating haze-relevant features in a learning framework for image dehazing*. in *Proceedings of the IEEE conference on computer vision and pattern recognition*. 2014.
- [22] He, K., J. Sun, and X. Tang, *Guided image filtering*. *IEEE transactions on pattern analysis and machine intelligence*, 2012. **35**(6): p. 1397-1409.
- [23] Zhang, K., et al., *Beyond a gaussian denoiser: Residual learning of deep cnn for image denoising*. *IEEE transactions on image processing*, 2017. **26**(7): p. 3142-3155.
- [24] Ancuti, C.O., C. Ancuti, and R. Timofte. *NH-HAZE: An image dehazing benchmark with non-homogeneous hazy and haze-free images*. in *Proceedings of the IEEE/CVF conference on computer vision and pattern recognition workshops*. 2020.
- [25] Ancuti, C.O., et al. *Dense-haze: A benchmark for image dehazing with dense-haze and haze-free images*. in *2019 IEEE international conference on image processing (ICIP)*. 2019. IEEE.
- [26] Ma, K., W. Liu, and Z. Wang. *Perceptual evaluation of single image dehazing algorithms*. in *2015 IEEE International Conference on Image Processing (ICIP)*. 2015. IEEE.
- [27] Yang, H.-H., C.-H.H. Yang, and Y.-C.J. Tsai. *Y-net: Multi-scale feature aggregation network with wavelet structure similarity loss function for single image dehazing*. in *ICASSP 2020-2020 IEEE International Conference on Acoustics, Speech and Signal Processing (ICASSP)*. ۲۰۲۰. IEEE.
- [28] Liu, J., et al. *Trident dehazing network*. in *Proceedings of the IEEE/CVF Conference on Computer Vision and Pattern Recognition Workshops*. 2020.
- [29] Lee, B.-U., et al. *CNN-based simultaneous dehazing and depth estimation*. in *2020 IEEE international conference on robotics and automation (ICRA)*. 2020. IEEE.
- [30] Sakaridis, C., et al. *Model adaptation with synthetic and real data for semantic dense foggy scene understanding*. in *Proceedings of the european conference on computer vision (ECCV)*. ۲۰۱۸.
- [31] Zhang, X., et al., *Hierarchical feature fusion with mixed convolution attention for single image dehazing*. *IEEE Transactions on Circuits and Systems for Video Technology*, 2021. **32**(2): p. 510-522.
- [32] Das, S.D. and S. Dutta. *Fast deep multi-patch hierarchical network for nonhomogeneous image dehazing*. in *Proceedings of the IEEE/CVF conference on computer vision and pattern recognition workshops*. 2020.
- [33] Zheng, Z., et al. *Ultra-high-definition image dehazing via multi-guided bilateral learning*. in *2021 IEEE/CVF Conference on Computer Vision and Pattern Recognition (CVPR)*. 2021. IEEE.

Digital image defogging using feature fusion and deep learning

Somaye RastgariFar¹,Yasser Elmi Sola^{1,*}

1. Department of Computer Engineering, Sab.C, Islamic Azad University, Sabzevar, Iran

*Corresponding Author: Yasser.Elmi@iau.ac.ir

Abstract

Fog usually causes severe interference in the image. Such image degradation presents a challenge to both human observers and computer vision systems. Image dehazing is the process of improving the quality of images that are affected by air scattering or water droplets. In this paper, a novel method for high-quality dehazing is proposed. The proposed algorithm for removing fog from images is based on a combination of two efficient mathematically based methods and the addition of a deep learning layer. The proposed method performs dehazing in the first phase based on adaptive histogram equalization and gamma correction. It operates in the HSV and RGB color spaces. In the second phase, a color channel-based method is used to dehazing by modeling it on the human brain, processing the brightness and saturation of pixels in a foggy image and examining the changes in concentration. In the third phase, a deep denoising network DnCNN is used to achieve a higher quality image. The DnCNN network was used with the justification that after image processing, the remaining fog follows a noisy pattern and can be considered as noise. The results of implementing and evaluating the proposed method on standard image databases showed that the proposed method, in addition to improving the quality of the results compared to previous methods, also performs better in terms of occupied memory. Another advantage of the proposed method is that it can be used for dehazing small-sized images.

Keywords: Image Dehazing, Deep learning, Histogram Equalization, Convolutional Neural Network
